2021年12月 December 2021

·网络空间安全·

文章编号: 1000-3428(2021)12-0147-09

文献标志码:A

中图分类号:TP309

基于OpenCL的3DES算法FPGA加速器

吴健凤1,郑博文2,聂 一2,柴志雷1,3

(1.江南大学 人工智能与计算机学院,江苏 无锡 214122; 2.江南大学 物联网工程学院,江苏 无锡 214122; 3.数学工程与先进计算国家重点实验室,江苏 无锡 214215)

摘 要: 在数字货币、区块链、云端数据加密等领域,传统以软件方式运行的数据加解密存在计算速度慢、占用主机资源、功耗高等问题,而以 Verilog/VHDL等方式实现的现场可编程门阵列(FPGA)加解密系统又存在开发周期长、维护升级困难等问题。针对 3DES算法,提出一种基于 OpenCL 的 FPGA 加速器设计方案。设计具有 48 轮迭代的流水并行结构,在数据传输模块中采用数据存储调整、数据位宽改进策略提高内核实际带宽利用率,在算法加密模块中采用指令流优化策略形成流水线并行架构,同时采用内核矢量化、计算单元复制策略进一步提高内核性能。实验结果表明,该加速器在 Intel Stratix 10 GX2800上可获得 111.801 Gb/s的吞吐率,与 Intel Core i7-9700 CPU 相比性能提升 372 倍,能效提升 644 倍,与 NvidiaGeForce GTX 1080Ti GPU 相比性能提升 20%,能效提升 9倍。

关键词: OpenCL框架;现场可编程门阵列;加解密算法;3DES算法;流水并行结构

开放科学(资源服务)标志码(OSID):



中文引用格式:吴健凤,郑博文,聂一,等.基于OpenCL的3DES算法FPGA加速器[J].计算机工程,2021,47(12):147-155,162.

英文引用格式: WU JF, ZHENG BW, NIEY, et al. FPGA accelerator for 3DES algorithm based on OpenCL[J]. Computer Engineering, 2021, 47(12): 147-155, 162.

FPGA Accelerator for 3DES Algorithm Based on OpenCL

WU Jianfeng¹, ZHENG Bowen², NIE Yi², CHAI Zhilei^{1,3}

- (1. School of Artificial Intelligence and Computer Science, Jiangnan University, Wuxi, Jiangsu 214122, China; 2. School of Internet of Things Engineering, Jiangnan University, Wuxi, Jiangsu 214122, China;
- 3. State Key Laboratory of Mathematical Engineering and Advanced Computing, Wuxi, Jiangsu 214215, China)

[Abstract] Nowadays, encryption and decryption algorithms are widely used in digital currency, blockchain, cloud data encryption and other fields. Traditional software-based data encryption is limited in the calculation speed while occupying many host resources and having high power consumption. Also, Field Programmable Gate Array(FPGA)-based encryption and decryption implemented in Verilog/VHDL suffer from the long development cycles and difficult maintenance and upgrades. To address the above problems, a design scheme of a FPGA accelerator for 3DES algorithm based on OpenCL is proposed. In the scheme, a pipeline parallel structure with 48 iterations is designed by adjusting data storage, improving data bit width, optimizing instruction stream, vectorising Kernels and replicating compute units. For the data transmission module, the actual bandwidth utilization of the Kernel is improved by adjusting data storage and increasing data bit width. For the algorithm encryption module, the instruction stream is optimized to form a pipeline parallel architecture. In addition, the performance of the Kernel is further improved by kernel vectorization and compute unit replication strategies. The experimental results show that the accelerator provides a throughput rate of 111.801 Gb/s on Intel Stratix 10 GX2800. Compared with the Intel Core i7-9700 CPU, the proposed accelerator improves the performance by 372 times and the energy efficiency by 644 times. Compared with the Nvidia GeForce GTX 1080Ti GPU, the proposed accelerator improves the performance by 20% and the energy efficiency by 9 times.

[Key words] OpenCL framework; Field Programmable Gate Array(FPGA); encryption and decryption algorithm; 3DES algorithm; pipeline parallel structure

DOI: 10. 19678/j. issn. 1000-3428. 0059799

基金项目:国家自然科学基金(61972180);数学工程与先进计算国家重点实验室开放基金(2018A04)。

作者简介:吴健凤(1996—),女,硕士研究生,主研方向为信息安全、计算机体系结构;郑博文、聂 一,硕士研究生;柴志雷,教授、博士。

0 概述

将加解密算法用于数字货币、区块链、云端数据加密等领域时^[1-2],算法应具备高强度计算能力。因此,当前服务器端允许包含异构计算平台以增强特定工作负载的性能,同时改善整个系统的维护成本。OpenCL是异构平台的开放框架,其中内核(Kernel)程序可以在多核CPU上,同时也可以在GPU、现场可编程门阵列(Field Programmable Gate Array,FPGA)、DSP上编译执行^[3]。当前服务器端除了采用ASIC或GPU处理大批量数据外,考虑到能效等因素也会大规模部署FPGA。

目前,已有许多基于OpenCL的加解密算法加速 器的研究。文献[4]设计一种基于OpenCL的MD5算 法加速器架构,提出结合优化CPU端内存分配、复制 内核计算单元的方法,其较未经优化方法性能提高了 6.1 倍。文献[5]提出基于OpenCL内核的Kuznyechik 算法流水线架构设计,结合轮密钥按位模2加消除 依赖、查找表、分解线性变换为布尔函数等方法,在 Intel Arria 10系列实现了41 Gb/s的吞吐率,同时占 用不超过10%的FPGA资源。文献[6]评估了可扩 展的多FPGA架构上AES加密内核的性能,在带有 Stratix A3 FPGA 的单个 M506 模块上,通过使用 OpenCL SIMD4达到了较高的吞吐率。文献[7]结 合 OpenCL 工具设计 SHA1 哈希算法, 与基于硬件的 描述语言相比,使用Intel FPGA SDK工具进行少量 的内核代码更改即可实现电路的改变,有效节省了 系统开发时间,其结合循环展开、循环流水等策略, 在 Altera Stratix V系列器件上达到 3 033 Mb/s 的吞 吐率,相比于CPU性能提升了14倍。

DES算法是1972年美国IBM公司设计的对称密码体制加密算法。随着软硬件的快速发展,DES算法已被证实不够安全。为了克服DES算法的缺陷,1999年美国NIST发布了新版本的DES标准^[8],指出DES仅能用于遗留的系统,同时3DES将取代DES成为新的标准。在国内,中国人民银行的智能卡技术规范已支持3DES^[9],电子支付系统将3DES方案用于数据的加解密^[2]。目前3DES算法在国内外有着广泛的应用,因此,更高效地实现3DES加密具有重要意义。

现有针对3DES算法的优化方法以使用硬件描述语言(Hardware Description Language, HDL)居多[10-11]。虽然 HDL仍是在 FPGA 上开发时序关键型设计的合适选择,但在 HDL 中开发应用程序需要付出较大代价并且容易出错。高层次综合工具(High-Level Synthesis, HLS)是高性能计算界针对 FPGA 编程的替代解决方案[12]。使用 HLS 可以让几乎没有 FPGA 开发经验的用户充分利用 FPGA 的优势。目前,有2 种支持利用 FPGA 开发 OpenCL 应用的商业编译器,一个是用于 OpenCL的 Intel FPGA 软件开发套件

(Software Development Kit, SDK), 支持 Cyclone、Stratix 和 Arria 系列的 FPGA 平台^[13-15], 另一个是 Xilinx, 为基于 OpenCL 的 Kintex 系列和 Virtex-7 FPGA产品提供了完整的 SDAccel开发环境^[16]。

本文采用数据存储调整、数据位宽改进、指令流优化、内核矢量化、计算单元复制等策略,设计并实现一种基于OpenCL的加解密算法FPGA加速器架构,以应用广泛的3DES算法为例,介绍内核程序的设计过程。

1 3DES算法原理

3DES 算法以DES 算法为基础,其通过进行 3次DES 加密增强算法复杂性,从而保障安全性[17]。DES 算法包含 16 轮迭代,使用 56 bit 密钥,而 3DES 算法包含 48 轮迭代,使用 168 bit 密钥。

1.1 DES 算法

DES算法将明文按 64 bit进行分组,参与计算的密钥长度固定为 64 bit(有效位数 56 bit)。加密流程主要包括初始置换、16轮循环迭代、逆初始置换 3个部分。其中,16轮迭代过程中参与计算的子密钥由56 bit密钥扩展而来^[8]。

DES算法流程如图 1 所示,其中,64 bit 的输入明文经初始置换分为 L_0 和 R_0 两部分,然后进行 16 轮相同的迭代运算,最后经过逆初始置换得到 64 bit 的输出密文。在每一轮迭代中,包含一次异或运算和 f函数运算。

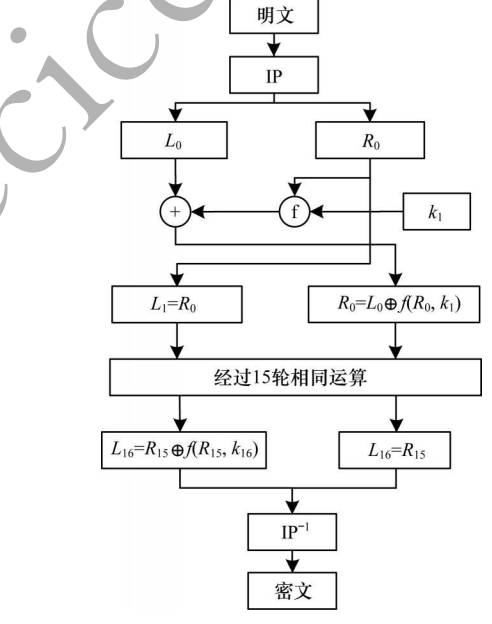


图1 DES算法流程

Fig.1 Procedure of DES algorithm

f函数原理如图 2 所示,其中,输入为该轮的 R_{i-1} 和该轮对应的子密钥 k_i , R_{i-1} 经 E 盒扩展后的结果与 48 bit 的子密钥 k_i 进行异或运算,之后经 S 盒变换、 P 盒置换得到 32 bit 的输出。S 盒将 6 bit 的输入转换

为4 bit 的输出,这也是算法中唯一的非线性变换,极大地提高了算法的安全性。S 盒的置换部分使用查找表实现,其将8个S盒的内容存储于片上ROM,有效提高了算法的计算效率。DES算法的子密钥生成模块输入为56 bit 的密钥,经16轮迭代生成16个子密钥 k_i,分别用于DES算法的16轮迭代计算模块。在子密钥生成模块中,每轮迭代包含循环左移和密钥置换操作。

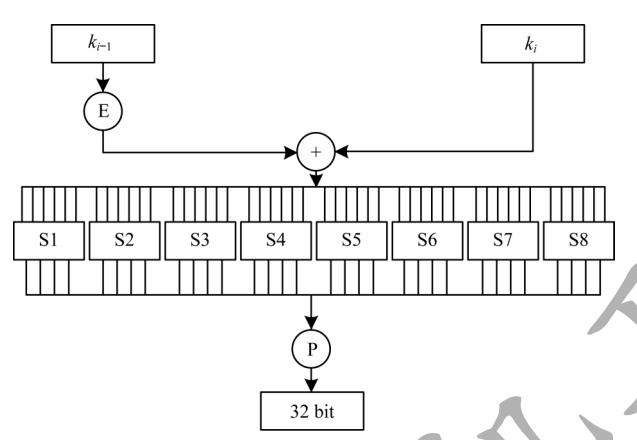


图2 f函数原理示意图

Fig.2 Schematic diagram of f function principle

1.2 3DES 算法

3DES算法在DES算法的基础上发展而来,其输入为64 bit 的明文,输出为64 bit 的密文。与DES算法不同,3DES算法包含192 bit(有效长度168 bit)的密钥。令 $E_{k_i}(I)$ 和 $D_{k_i}(I)$ 分别表示使用DES密钥 k_i 对数据块I的DES加密和解密运算。3DES的加密操作如式(1)所示,其将64 bit 的输入块I转换成64 bit 的输出块 O_1 。3DES的解密操作如式(2)所示,其将64 bit 的输入块I转换成64 bit 的输入块I转换成64 bit 的输入块I

$$O_1 = E_{k_1}(D_{k_2}(E_{k_1}(I))) \tag{1}$$

$$O_2 = D_{k_1}(E_{k_2}(D_{k_2}(I)))$$
 (2)

2 基于 OpenCL 的 FPGA 设计

OpenCL为开发人员提供了抽象的内存层次结构以生成有效代码,适合目标设备的内存层次结构。OpenCL内存结构由全局内存(Global Memory)、常量内存(Constant Memory)、局部内存(Local Memory)、私有内存(Private Memroy)4种类型构成[18]。工作项在处理单元(Processing Element, PE)上运行,可以访问对应的私有内存,工作组在一个计算单元(Compute Unit, CU)上运行。同一工作组中的工作项拥有共同的局部内存。

OpenCL程序包含主机端程序和内核程序两部分。如图 3 所示,内核程序运行时系统会创建一个整数索引空间,工作项对应执行索引空间的一个实例,工作组是工作项的集合,同一工作组中的工作项共享内存并可以实现组内同步。工作项在全局索引

空间中的坐标为该工作项的全局ID,工作项在工作组中的坐标为该工作项的局部ID。

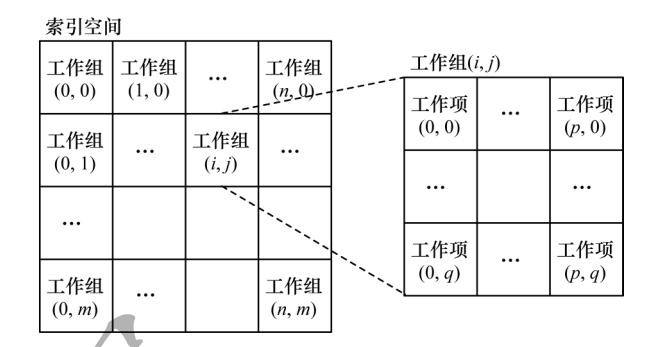


图 3 OpenCL 索引空间示意图

Fig.3 Schematic diagram of OpenCL index space

本文采用 IntelFPGA SDK 实现 3DES 算法加速器设计。在 FPGA 上构建系统之前,SDK 支持在CPU上仿真 OpenCL 应用程序。软件仿真利用 CPU模拟 FPGA 硬件特性,通常用于功能验证。目前,Intel 的工具链不支持硬件仿真[16]。Intel FPGA SDK包含一个编译 OpenCL 内核以创建优化硬件镜像的离线编译器,该编译器将内核代码转换成为中间Verilog 形式,然后通过 Quartus II 软件将其编译为二进制镜像,该镜像可在程序运行时加载至 FPGA端。由于编译过程需要数小时来应用适当的优化并设计出硬件镜像,因此编译过程是离线的,主机程序仅在运行时才加载硬件镜像。构建完成后,将创建主机可执行文件和二进制文件,以在 FPGA 上运行目标程序[17]。

3 基于OpenCL的3DES算法FPGA加速器

本文基于OpenCL实现3DES算法FPGA加速器的设计,包含主机端(HOST)程序设计与设备端程序设计两部分:主机端程序结合3DES算法加密的原理,完成主机端程序对明文数据的读取、初始化、存储、OpenCL运行时环境的创建以及对Kernel的调度与管理;设备端程序设计针对3DES算法内核计算模块进行优化并形成流水线并行架构。同时,采用数据存储调整、数据位宽改进策略有效提升实际带宽利用率,采用指令流优化技术针对算法中的循坏迭代进行改进,提高计算的并行度,采用内核矢量化、计算单元复制进一步提升内核性能。

3.1 主机端程序设计

主机端完成明文数据的读取、初始化、存储、内核调度、管理等工作。Intel FPGA SDK提供了OpenCL平台 API及运行时 API:平台 API定义了主机端程序发现OpenCL设备所用的函数以及这些函数的功能;运行时 API用于管理上下文来创建命令队列以及运行时发生的其他操作。通过调用 OpenCL API 可实现主机端对内核的调度与管理[17], CPU端程序流程如图 4所示。

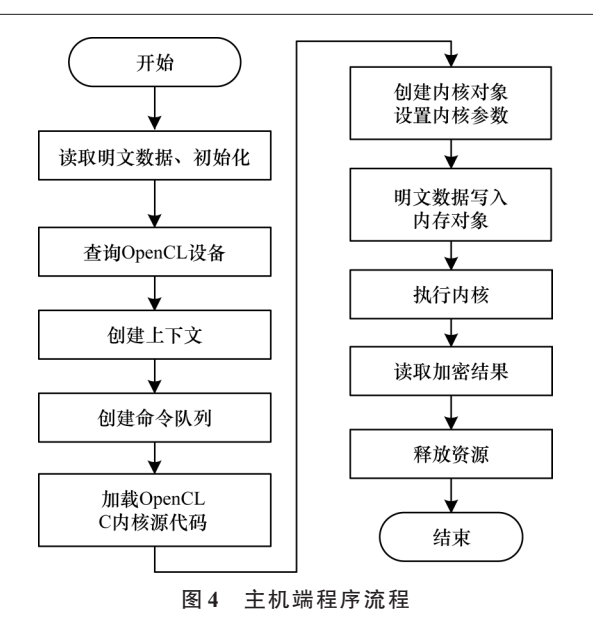


Fig.4 Procedure of HOST program

3.2 优化策略

3DES算法内核模块包括明文数据输入缓存、算法加密模块和密文数据输出缓存3个模块,如图5所示。明文数据输入缓存完成从全局内存读取明文数据,通过使用数据存储调整、数据位宽改进提高实际带宽利用率;算法加密模块基于FPGA完成3DES算法的加密计算,通过数据循环展开、循环流水形成流水线并行计算架构;密文数据输出缓存模块将数据从FPGA片上传输至外部DDR中。

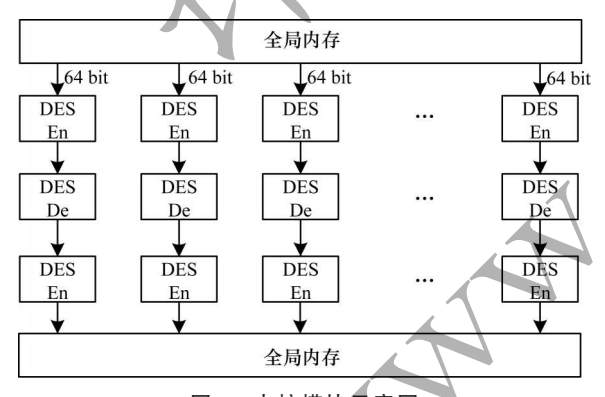


图 5 内核模块示意图

Fig.5 Schematic diagram of Kernel module

3.2.1 数据存储调整

由主机端传输的数据存储于片外 DDR 中,对应的数据类型为__global;常量内存位于片上缓存单元,对应的数据类型为__constant;局部内存的物理地址为片上 RAM 资源,对应的数据类型为__local;私有内存的物理地址为片上寄存器资源,对应的数据类型为__private。由于片上不同资源的大小、延迟、吞吐率存在差异,因此合理分配数据存储位置对

于算法性能提升有较大的影响[19]。

不同内存类型的性能参数如表1所示。全局 内存类型具有最大的吞吐率及容量,但同时也存在 较大的访存延迟,主机端传输的数据存储于全局内 存中,因此提高内存带宽的实际利用率对于系统性 能的提升是有效的。局部内存对工作组中的所有 工作项可见,与私有内存相比,在访存延迟相当的 情况下,其具有更高的吞吐率及更大的容量,但同 一工作组中的工作项执行后需要通过使用屏障保 证数据一致性,这在一定程度上增加了延迟。因 此,将参与3DES计算的变量存储于私有内存中, 工作项访问位于私有内存中相应的明文数据块并 完成3DES算法加密。针对f函数计算模块的S盒 和 E 盒变换, 由于是频繁访问的数据且其值在计算 过程中保持不变,因此将其存储于常量内存,对应 的物理地址为片上 ROM,从而在加快访问速度的 同时避免访存冲突。

表1 不同内存类型的性能参数

Table 1 Performance parameters of different memory types

内存类型	延时/cycle	吞吐量/(GB·s ⁻¹)	容量/MB
全局内存	240	34.133	8 000
局部内存	2	~8 000	66
私有内存	2/1	~240	0.2

3.2.2 数据位宽改进

工作项执行内核程序的一个实例,如果工作项处理的数据位宽不固定,则编译器会使用更多的资源以满足可能的数据位宽,但同时也会对程序的优化编译有所限制。

基于3DES算法输入数据长度为64 bit且输出数据长度为64 bit的前提,将单工作项处理的数据长度调整为8 Byte。若将数据长度调整为4 Byte,则需要2个工作项来完成一个明文块的加密操作,此时工作项间的数据需要同步以保证数据一致性,这会增加额外的时间开销;若将数据长度调整为16 Byte,此时单工作项的处理数据量为原来的1倍,理论上内核执行时间增加1倍,则将单工作项的行为定义为从全局内存中搬运8 Byte的数据至私有内存,针对8 Byte数据进行3DES加密计算,再将计算的结果从私有内存搬运至全局内存中。通过获得工作项的全局ID可实现工作项与明文数据的一一对应,从而避免工作项间的同步操作。

3.2.3 指令流优化

指令流优化主要使用循环展开和循环流水来提高程序的并行度。循环展开可指导离线编译器将OpenCL Kernel转换为硬件镜像的方式。通过使用

循环展开可形成有效的流水,而流水线架构能够缩短整体的执行时间。如图 6 所示,假设每步操作需要1个时钟周期,未形成流水线型设计时,内核在下次计算时延迟了3个时钟周期,而在使用流水线型设计后,只延迟了1个时钟周期。

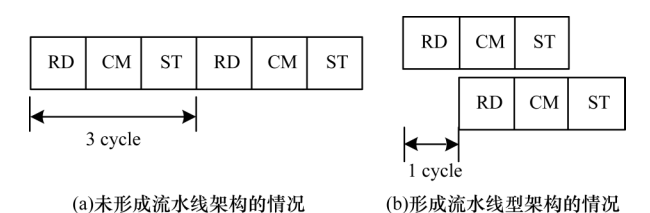


图 6 内核计算架构

Fig.6 Architecture of Kernel computing

循环展开在消耗一定硬件资源的前提下可降低数 据读取与存储的次数,节省计算所需的时间,形成流水 线型架构,从而提高并行度。如表2所示,在内存数据 Load模块,针对8 Byte的明文数据与3个8 Byte的子密 钥数据读取进行循环展开形成内存合并,将对内存数 据的32次Load操作降低为4次更宽的Load操作;在内 存数据 Store 模块,针对 8 Byte 的密文数据存储进行循 环展开形成内存合并,将使内存的8次Store操作减少 为1次更宽的Store操作;在迭代计算模块,针对子密钥 生成模块的16次循环左移和密钥置换、DES计算模块 的16轮轮换计算模块进行循环展开,指导编译器生成 多套单次迭代所需的硬件结构,节省了迭代计算所需 的时间。表2数据显示,未进行循环展开时,内核的执 行时间为1110.096 ms,使用循环展开后,内核的执行 时间降低为46.620 ms,可见通过循环展开取得了较好 的优化效果。

表 2 循环展开的优化效果

Table 2 Optimization effect of loop unrolling

未循环展开 32 8 32 1 110.096 循环展开 4 1 2 46.620	方案	内存 Load 次数	内存 Store 次数	迭代计算 次数	时间/ms
循环展开 4 1 2 46.620	未循环展开	32	8	32	1 110.096
	循环展开	4	1	2	46.620

3.2.4 内核矢量化

内核矢量化允许多个工作项以 SIMD 的方式执行内核程序的实例。矢量化指导编译器生成多个矢量通道,使得工作项可以同时存取并处理多个数据^[20]。如图 7 所示,内核矢量化参数设定为 2 后编译器会合并内存访问。与未经矢量化相比,矢量化后的内核单次 Load 和 Store 的数据量为原先的 2 倍。使用内核矢量化时,需要同时指定工作组大小,且内核矢量化的参数能被工作组大小整除。内核矢量化的参数只能是 2 的指数,由于硬件资源的限制,因此

实验中可设定的最大矢量化参数为16。

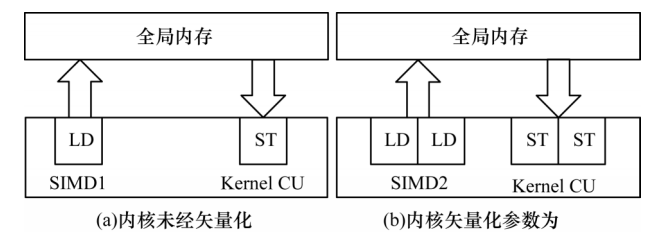


图7 内核矢量化示意图

Fig.7 Schematic diagram of kernel vectorization

以加密 128 MB 数据量为例描述不同内核矢量化参数下系统内存带宽及吞吐率的变化情况。在 SIMD2 方案中,设置矢量化参数为 2 后工作组中的工作项平均分布在 2个 SIMD 通道中,此时单工作项执行的工作量为原来的 2 倍,同时编译器会合并内存访问,单工作项一次可从内存中加载 2 个明文数据块进行加密并一次将 2 个数据块的加密结果存储到全局内存中[19]。如表 3 所示,随着矢量化参数的增加,内核的执行时间得到降低,内存带宽及系统的吞吐率得到提升。

表 3 内核矢量化的优化效果

Table 3 Optimization effect of Kernel vectorization

方案	内存带宽/(MB·s ⁻¹)	时间/ms	吞吐率/(Gb·s ⁻¹)
SIMD1	5 790.1	46.577	21.985
SIMD2	10 522.0	25.629	39.955
SIMD4	17 910.7	14.961	68.445
SIMD8	23 506.6	11.112	92.153
SIMD16	27 592.7	9.423	108.670

在本文设计中,工作组大小为512,内核矢量化 多数为16,每个工作组中的工作项分布在16个 SIMD通道中。编译器实现16个SIMD通道后,每 一个工作项的计算工作量为原先的16倍,相应的全 局工作组大小减少为原来的1/16。

3.2.5 计算单元复制

通过计算单元复制策略可提高具有常规内存访问模式的内核性能。Intel FPGA SDK编译器支持为内核生成多个计算单元,通常每个计算单元可以同时执行多个工作组,从而提高内核的吞吐率。使用计算单元复制后,FPGA中的硬件调度器将工作组分派到其他可用的计算单元。只要计算单元尚未达到其最大容量,就可以将其用于工作组分配[19]。

如图 8 所示,本结合参数为 16 的内核矢量化策略,利用 FPGA 硬件调度器将工作组分配至 2 个计算单元中执行,理论上可使内核的运行时间缩短为原来的一半。然而,虽然通过使用多个计算单元可提高系统的吞吐率,但也会增加对于全局内存带宽的竞争以及硬件资源的使用。

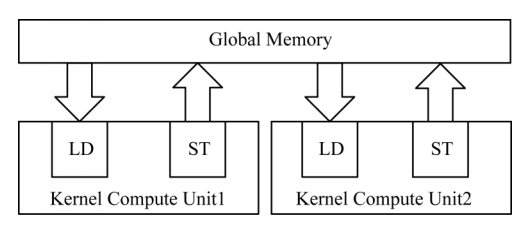


图 8 计算单元复制策略示意图

Fig.8 Schematic diagram of compute unit replication strategy

3.3 加速器总体架构设计

如图 9 所示,基于 OpenCL 的 3DES 算法加速器架构由主机(HOST)端和设备端2个部分组成,其中,HOST端负责与 OpenCL 程序外部环境的数据交互、与设备端的数据交互及 Kernel 的调度与管理,设备端负责 3DES算法的计算任务。

设备端包含明文数据输入缓存、3DES算法加密 计算、密文数据输出缓存3个模块。其中,明文数据 输入缓存、密文数据输出缓存位于设备端的全局内存区域,3DES算法加密的中间数据存储于设备端的私有内存区域。

在图9中,PE单元为一个工作项的处理单元,每个PE单元拥有相应的私有内存用于存储运算的中间数据,一个PE单元完成一个明文块的3DES加密计算。针对全局内存与私有内存的数据传输模块,结合OpenCL内存模型及全局内存、私有内存存在访存差异的特点,采用改进数据存储位置、调整数据位宽策略提高内核实际带宽利用率;针对算法加密计算模块,结合3DES算法加密的原理,采用循环展开、循环流水策略形成流水线并行架构,同时结合使用内核矢量化策略形成更宽的矢量计算通道从而有效提升算法的性能,采用计算单元复制策略进一步提高FPGA端计算的吞吐率。

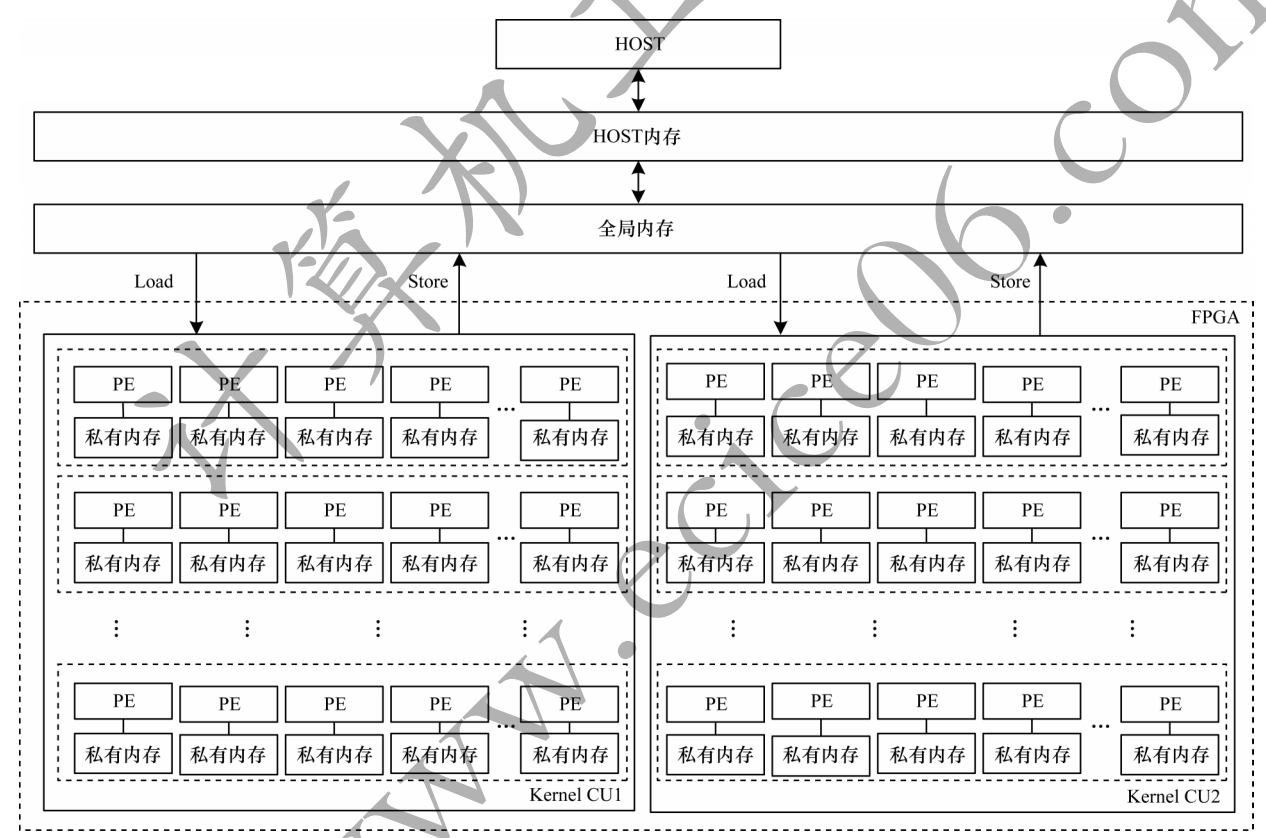


图 9 3DES 算法 FPGA 加速器总体架构 Fig.9 The overall architecture of FPGA accelerator for 3DES algorithm

4 实验

4.1 实验环境

对本文设计的加速器进行实验验证,软件环境为CentOS Linux release 7.7.1908+GCC V4.8.5, OpenCL 版本为Intel FPGA SDK for OpenCL 19.3, 硬件组合为Intel Xeon E5-2650 V2 的 CPU+Intel Stratix 10 GX2800 的 FPGA,该款 FPGA包含 1 866 240个 ALUT,内存带宽为 34 GB/s,资源情况如表 4 所示^[14]。

表 4 FPGA 端资源情况

Table 4 FPGA resources

资源	数量
ALUT	1 866 240
FF	3 732 480
RAM	11 721
DSP	5 760

4.2 实验结果

在不同优化策略下,以加密 128 MB 数据、单工作项处理 8 Byte 明文块为例,结合 FPGA 端内存带宽、工作频率、内核执行时间及资源消耗情况描述内核的性能变化。内存带宽及时钟频率通过在编译器编译时加入性能计数器(-profile)获得,通过 aocl report 指令调用 Intel FPGA Dynamic Profiler for OpenCL工具获得内存带宽及工作频率的信息,通过 clGetEventProfilingInfo 函数获得内核的执行时间,通过 aoc-rtl指令生成内核的分析报告,获得资源消

耗的详细信息。实验中记录的时间是算法的绝对执行时间,不包含主机与设备之间的数据传输时间,时间的统计结果通过多次测试取平均值获得。

4.3 实验结果分析

表5展示了不同优化策略下FPGA端内存带宽、时钟、内核执行时间及资源占用变化情况。,其中,未优化的内核其内存带宽为1916.9 MB/s且FPGA板卡的工作频率为306.2 MHz,内核运行时间为1349.181 ms。下文对不同方案下的实验数据进行分析。

表 5 不同优化方案下 FPGA 端性能及资源情况

Table 5 FPGA performance and resources under different optimization schemes

方案	内存带宽/(MB·s ⁻¹)	时钟/MHz	ALUTs/%	FFs/%	RAMs/%	时间/ms
未优化	1 916.9	306.2	7.30	5.43	1.00	1 349.181
数据存储调整	2 277.8	325.0	8.01	5.53	15.64	1 306.545
数据位宽改进	4 710.7	322.5	1.91	1.38	10.01	1 354.537
指令流优化	5 779.7	372.2	3.30	1.40	2.56	46.620
SIMD8	23 274.5	373.3	19.41	6.27	2.07	11.132
SIMD16	27 534.1	372.2	38.57	12.32	2.42	9.425
SIMD8+CU4	27 105.5	366.7	77.33	24.97	6.65	9.409
SIMD16+CU2	28-102.3	366.7	77.03	24.59	4.28	9.243

数据存储调整结合 OpenCL内存模型及 FPGA 板卡不同硬件资源存在访存延迟及吞吐率差异的特点,将HOST端传输的数据存储类型由常量类型(__constant)更改为全局变量类型(__global),将内存的实际带宽利用率、板卡的工作频率提升至 325 MHz。这是因为全局类型的变量其存储位置为 FPGA 的片外 DDR,且理论带宽可达到 34 GB/s,而常量类型变量在内核运行时会自动由 DDR 转存至 FPGA 片上缓存,这在一定程度上增加了额外的数据移动。

数据位宽改进将单工作项处理的数据位宽确定为8 Byte,此时内存带宽提升了一倍多,这是因为在数据位宽确定的情况下,编译器能够结合长度信息做更好的优化,且使用8 Byte长度的位宽可最大化单工作项处理数据的效率,同时减少不必要资源的使用。结合数据位宽改进后,设备端占用的逻辑资源大幅减少,由最初的8.01%降至1.91%。

指令流优化包含循环展开和循环流水两部分。使用指令流优化后,系统整体性能的提升较为明显。由表5可知,使用指令流优化后内存带宽提升至5779.7 MB/s,时钟频率达到372.2 MHz,同时内核的运行时间由最初的1349.181 ms缩短至46.620 ms。这是因为在结合数据存储调整、数据位宽改进的前提下,采用循环展开和循环流水策略可以达到较好的并行度。实验结果表明,在未结合数据位宽改进的情况下,采用循环展开循环流水策略后内核的运行时间为437.053 ms。这是因为如果未结合数据位

宽改进,编译器无法针对循环做有效的展开,且会尽量使用更多的资源和更粗粒度的优化来满足可能的数据长度,这在一定程度上限制了编译器的优化能力。由表5可知,使用循环展开、循环流水策略后,消耗的逻辑资源由原先的1.91%增加至3.3%,这与循环展开增加逻辑资源的消耗相符合。

内核矢量化实现内核中多个工作项以单指令多数据(SIMD)的方式参与运算。结合工作组大小为512,将内核矢量化的参数指定为8,此时全局工作组的大小减少为原来的8倍。内核矢量化后内存带宽由5779.7 MB/s提升至23274.5 MB/s。这是因为矢量化内核会指导编译器合并内存访问,将对全局内存的8次Load操作合并为1次更宽的矢量Load操作且内核函数计算模块包含较少的分支语句,有利于形成较合适的SIMD通道。内核矢量化后FPGA端的工作频率为373.3 MHz,内核的执行时间由原先的46.620 ms缩短至11.132 ms,可见内核矢量化在性能上产生明显的提升。内核矢量化会增加FPGA端资源的消耗,由表5可知,其占用的逻辑资源由3.3%上升至19.41%。

将矢量化的参数由8提升至16,此时可形成更宽的内存访问操作。由表5可知,内存带宽进一步提高至27534.1 MB/s,内核的执行时间缩短至9.425 ms,系统资源的消耗由19.41%增加至38.57%。

结合内核矢量化与计算单元复制的组合可进一步提高内核的性能。内核矢量化参数为8时,可复制的最大计算单元数为4;内核矢量化参数为16时,

可复制的最大计算单元数为2。

结合矢量化参数为8、4个计算单元复制后内存带宽为27 105.5 MB/s,相比于SIMD16有一定程度的下降,这是因为计算单元的增加导致对带宽的竞争,内核的执行时间缩短至9.409 ms,逻辑资源的消耗为77.33%。使用参数为16的内核矢量化与2个计算单元复制的组合,其内存带宽为28 102.3 MB/s,工作频率为366.7 MHz,内核的计算时间缩短至最低的9.243 ms,逻辑资源的占用达到77.03%。在有限的资源下,内核矢量化参数为16、计算单元复制数为2时获得了最佳的内核性能。下文将结合不同大小的明文数据量,进一步描述结合内核矢量化参数为16、计算单元复制数为2的内核性能变化。

4.4 不同数据量下系统吞吐率变化

为直观描述内核的性能,以64 KB、1 MB、8 MB、64 MB、128 MB、256 MB、512 MB、1024 MB的数据为例,描述内核在不同数据量下的吞吐率变化情况。内核吞吐率的计算公式[21]如式(3)所示:

$$T = \frac{N \times B}{E} \tag{3}$$

其中: T为吞吐率; N为 3DES 加密的次数; B为单次 3DES 加密的明文块大小; E为内核的执行时间。不同数据量下内核的执行时间及吞吐率的变化情况如表 6 所示。可以看出: 在数据量较小的情况下, 内核的吞吐率不能很好地反映算法的真实性能; 随着数据量的增加, 内核的吞吐率在增加后趋于稳定; 在计算的数据量大于 128 MB 后, 内核的吞吐率保持在 111.801 Gb/s 左右。

表 6 不同数据量下的吞吐率

Table 6 Throughput rates under different data volumes

数据量	时间/ms	吞吐率/(Gb·s ⁻¹)
64 KB	0.032	16.000
1 MB	0.109	73.394
8 MB	0.628	101.911
64 MB	4.645	110.226
128 MB	9.243	110.787
256 MB	18.387	111.383
512 MB	36.708	111.583
1 024 MB	73.273	111.801

4.5 与不同方案的对比

为了验证本文方案的有效性,与其他文献方案 进行比较,并与CPU、GPU平台实现结果进行比较。

4.5.1 与其他文献方案的比较

文献[11,22-25]皆采用基于Verilog/VHDL的设计方案。本文基于OpenCL实现FPGA的设计,采用数据存储调整、数据位宽改进、指令流优化、内核矢量化等策略实现3DES算法加速器的设计。如表7所示,与基于Verilog/VHDL实现的方案相比,本文方案有效解决

了开发周期长、维护升级困难等问题,同时频率达到了366.7 MHz,吞吐率达到111.801 Gb/s,取得了较明显的性能提升。

表 7 不同方案的加速性能

Table 7 Acceleration performance of different schemes

方法	频率/MHz	吞吐率
文献[11]方案	277.0	709.1 Mb/s
文献[22]方案	348.9	797.593 Mb/s
文献[23]方案	240.0	15 360 Mb/s
文献[24]方案	50.0	3.2 Gb/s
文献[25]方案	360.0	23.040 Gb/s
本文方案	366.7	111.801 Gb/s

4. 5. 2 与 CPU 、GPU 实现结果的比较

结合 CPU、GPU 平台验证本文方案的性能。OpenSSL是基于密码学的开发工具包,包含丰富的密码算法库。Hashcat是一种快速密码恢复工具,支持 OpenCL 框架。本文的对比对象为 CPU 端的OpenSSL库,其版本为1.0.2, CPU 型号为 Intel Core i7-9700; GPU 端的 Hashcat,其版本为5.0.0, GPU 型号为 NvidiaGeForce GTX 1080Ti。

由图 10 可知,本文实现方案相比于 CPU性能提升 372 倍,相比于 GPU性能提升 20%。由图 11 可知,本文实现方案相比于 CPU能效比提升 644 倍,相比于 GPU能效比提升 9倍。

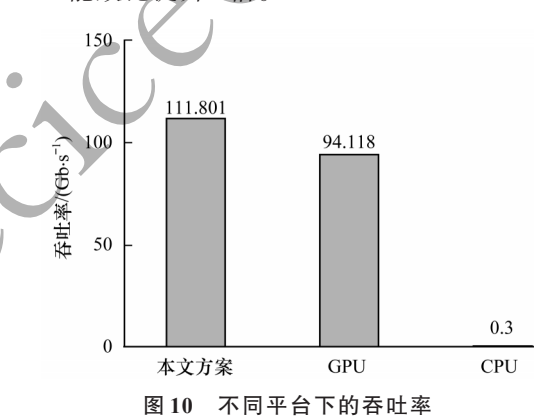


Fig.10 Throughput rate under different platforms

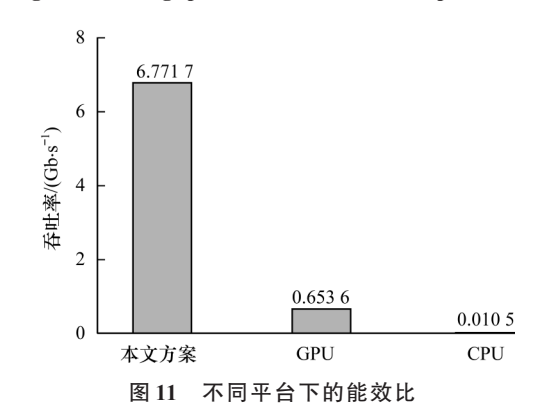


Fig.11 Energy efficiency ratio under different platforms

5 结束语

本文针对传统数据加解密计算速度慢、功耗高、 占用主机资源的问题,以及 Verilog/VHDL方式实现 的FPGA加解密系统开发周期长、维护升级困难的 问题,提出一种基于OpenCL的3DES算法FPGA加 速器架构设计方案。结合OpenCL内存模型与 FPGA端硬件资源的对应关系优化数据存储模块,同 时对私有内存与全局内存的数据传输模块,采用循 环展开、数据位宽改进策略提高内存带宽的实际利 用率,对3DES算法计算模块,采用指令流优化提高 计算的并行度,形成流水线型架构。在此基础上,结 合内核矢量化、计算单元复制策略进一步提高内核 的吞吐率。实验结果表明,本文设计的加速器能够 有效提升3DES算法的速度与能效方面,满足数字货 币、区块链、云端数据加密等高强度计算领域的计算 要求。为进一步提高该加速器的通用性和性能,后 续将针对非对称加密算法和哈希算法进行设计,同 时优化主机端与FPGA端数据的传输性能,开发实 现支持算法类别更多的加解密算法计算平台

参考文献

- [1] 郭策,陈广财. 基于区块链技术的一种对病人隐私数据的加密保护方案[J]. 福建质量管理,2018(22):262. GUO C, CHEN G C. An encryption protection scheme for patient privacy data based on blockcham technology[J]. Fujian Quality Management, 2018(22):262. (in Chinese)
- [2] PCI Security Standards Council. PCI DSS and PA-DSS glossary of terms, abbreviations, and acronyms v3. 2[EB/OL]. [2020-09-13]. https://www.pcisecuritystandards.org/documents/PCI_DSS_Glossary_v3-2.pdf? agreement=true&time=1496432377875.
- [3] MUNSHI A, FUNG J, GINSBURG D, et al. OpenCL programming guide [M]. [S. l.]: Addison-Wesley Professional, 2012.
- [4] JIN Z, FINKEL H. Evaluation of MD5 Hash kernel on OpenCL FPGA platform [C]//Proceedings of 2018 IBEE International Parallel and Distributed Processing Symposium Workshops. Washington D. C. , USA; IEEE Press, 2018; 1026-1032.
- [5] KOROBEYNIKOV A. Effective implementation of 'kuznyechik' block cipher on FPGA with OpenCL platform [C]//Proceedings of 2019 IEEE Conference of Russian Young Researchers in Electrical and Electronic Engineering. Washington D. C., USA: IEEE Press, 2019: 1683-1686.
- [6] GAO S, CHRITZ J. Characterization of OpenCL on a scalable FPGA architecture [C]//Proceedings of 2014 IEEE International Conference on Reconfigurable Computing and FPGAs. Washington D. C. , USA; IEEE Press , 2014; 1-6.
- [7] JANIK I, KHALID M A S. Synthesis and evaluation of SHA-1 algorithm using altera SDK for OpenCL [C]// Proceedings of 2016 IEEE International Midwest Symposium on Circuits and Systems. Washington D. C., USA; IEEE

- Press, 2016: 1-4.
- [8] Federal Information Processing Standards Publication. Data Encryption Standard (DES) [EB/OL]. [2019-11-20]. https://csrc.nist.gov/publications/sp#800-67.
- [9] 张焕国,杜瑞颖,傅建明,等. 信息安全工程师中级教程[M]. 北京:清华大学出版社,2016. ZHANG H G, DU R Y, FU J M, et al. Information security engineer tutorial[M]. Beijing: Tsinghua University Press, 2016. (in Chinese)
- [10] 任芳,杨承睿,陈雷华. 一种基于 FPGA 的 3DES 加密算法实现[J]. 西安工程大学学报,2011,25(4):555-559. REN F, YANG C R, CHEN L H. 3DES implementation based on FPGA [J]. Journal of Xi' an Polytechnic University,2011,25(4):555-559. (in Chinese)
- [11] 朱欣欣, 李树国. 基于 FPGA 的高性能 3DES 算法实现[J]. 微电子学 与计算机,2015,32(9):54-59. ZHU X X, LI S G. High-performance 3DES algorithm implement based on FPGA[J]. Microelectronics and Computer,2015, 32(9):54-59. (in Chinese)
- [12] NANE R, PILATO C, CHOI J, et al. A survey and evaluation of FPGA high-level synthesis tools [J]. IEEE Transactions on Computer-Aided Design of Integrated Circuits and Systems, 2016, 35(10):1591-1604.
- [13] Intel Corporation. Intel FPGASDK for OpenCL standard edition: Cyclone VSoC getting started guide [EB/OL]. [2019-11-20]. https://www.intel.com/content/dam/www/programmable/us/en/pdfs/literature/hb/opencl-sdk/aocl_c5soc_getting_started.pdf.
- [14] Intel Corporation. Intel FPGASDK for OpenCL: Intel stratix 10 GXFPGA development kit reference pkatform porting guide [EB/OL]. [2019-11-20]. https://www.intel.com/content/dam/www/programmable/us/en/pdfs/literature/hb/opencl-sdk/ug-aocl-s10pciedk-platform.pdf.
- [15] Intel Corporation. Intel FPGASDK for OpenCL: Intel Arria
 10 GXFPGA development kit reference platform porting
 guide[EB/OL]. [2019-11-24]. https://www.intel.com/
 content/dam/www/programmable/us/en/pdfs/literature/hb/
 opencl-sdk/ug-aocl-a10pciedk-platform.pdf.
- [16] JIN Z, FINKEL H. Optimizing parallel reduction on OpenCLFPGA platform—a case study of frequent pattern compression [C]//Proceedings of 2018 IEEE International Parallel and Distributed Processing Symposium Workshops. Washington D. C. , USA; IEEE Press, 2018; 27-35.
- [17] 王煜. 3DES 加密技术的新探讨与改进[J]. 网络空间安全,2016,7(8):30-32. WANG Y. New discussion and improvement of 3DES encryption technology[J]. Cyberspace Security,2016,7(8): 30-32. (in Chinese)
- [18] Intel Corpration. Intel FPGA SDK for OpenCL Pro edition programming guide 19. 3[EB/OL]. [2019-11-20]. https://www.intel.com/content/dam/www/programmable/us/en/pdfs/literature/hb/opencl-sdk/archives/aocl_programming_guide-19-3. pdf.
- [19] Intel Corpration. Intel FPGASDK for OpenCL Pro edition best practices guide[EB/OL]. [2019-11-20]. https://www.intel.com/content/dam/www/programmable/us/en/pdfs/literature/hb/opencl-sdk/archives/aocl-best-practices-guide-19-3. pdf.

(下转第162页)

(上接第155页)

- [20] JIN Z M, FINKEL H. OpenCL kernel vectorization on the CPU, GPU, and FPGA: a case study with frequent pattern compression [C]//Proceedings of 2019 IEEE Annual International Symposium on Field-Programmable Custom Computing Machines, Washington D. C., USA: IEEE Press, 2019: 330.
- [21] MOHAMED A, NADJIA A. SHA-2 hardware core for virtex-5 FPGA[C]//Proceedings of 2015 IEEE International Multi-Conference on Systems, Signals and Devices. Washington D. C., USA; IEEE Press, 2015:1-5.
- [22] GURUPRASAD S P, CHANDRASEKAR B S. An evaluation framework for security algorithms performance realization on FPGA [C]//Proceedings of 2018 IEEE International Conference on Current Trends in Advanced Computing. Washington D. C., USA; IEEE Press, 2018; 1-6.
- [23] RAKANOVIĆ D, STRUHARIK R. IP core for AES256 and TDES algorithms with AXI interface [C]//Proceedings of 2016 Telecommunications Forum. Washington D. C., USA: IEEE Press, 2016: 1-4.
- [24] ROSAL E D, KUMAR S. A fast FPGA implementation for triple DES encryption scheme [J]. Circuits & Systems, 2017,8(9):237-246.
- [25] 李斌,周清雷,斯雪明,等.混合可重构的DES算核高效能口令恢复方案[J]. 计算机工程与科学,2020,42(10):
 - LIB, ZHOU QL, SIX M, et al. A high-efficiency password recovery scheme based on hybrid reconfigurable DES computing kernel [J]. Computer Engineering and Science, 2020, 42(10):1887-1896. (in Chinese)